

# 一酸化炭素中毒이 家兔 肺胞表面活性物質에 미치는 影響

慶北大學校 醫科大學 生理學教室

朱 永 恩 · 李 錫 江

=Abstract=

## Effect of CO Intoxication on the Pulmonary Surfactant in Rabbits

Young Eun Choo, M. D. and Suck Kang Lee, M. D.

Department of Physiology, Kyungbook National University School of Medicine  
Taegu, Korea

In order to observe a possible effect of CO intoxication on the activities of surfactant, the rabbit was exposed either to 0.1, 0.2 and 0.4% CO gas for two to six hours or 0.1% CO gas for two hours daily for 1, 3 and 5 days, and the lung extract was prepared.

The tension-area diagram of the lung extract was recorded automatically using the modified Langmuir-Wilhelmy balance with a synchronized recording system, and the results were compared with control (i.e.: non-CO gas exposed normal rabbits).

The results obtained are summarized as follows:

1. The maximal and minimal surface tensions, width of the tension-area diagram at the surface area of 40% in lung extract, and stability index of the normal rabbit lung extracts were  $31.6 \pm 3.11$  dynes/cm,  $8.2 \pm 0.56$  dynes/cm,  $21.4 \pm 4.40$  dynes/cm and  $1.12 \pm 0.22$ , respectively.
2. The activities of surfactant in the CO gas exposed group did not show any significant change from the control.
3. The above results suggest that CO gas produced no noticeable effect on the surfactant system of the lung.

## 緒論

生體가 一酸化炭素 (CO gas)에 露出됨으로서 頭痛, 無氣力, 睡氣, 卒倒, 失神 및 惡心 等의 所謂 CO 中毒 現象<sup>1,2)</sup> 나타날 때에는 露出된 CO gas 的 濃度와 露出時間에 따라 急速히 CO 血色素가 形成되고 生理의 인變化로서 1) 酸素運搬能의 減少와 2) 酸化血色素 解離曲線의 左側移動 및 曲線의 變型으로서 低酸素症이 招來되고<sup>2,3)</sup>, CO gas 와 呼吸酵素와의 親和性에 因한 酵素의 活性度의 低下로서 各種 代謝의 障害<sup>4,5)</sup>等이 나타나게 되며 高濃度의 CO gas 露出로서는 cytochrome ox-

idase의 機能低下로서 histotoxic effect 가 나타나게 된다<sup>5)</sup>는 것은 잘 알려진 事實이다. 그러나 CO 中毒이 呼吸機能에 미치는 影響에 關해서는 褊은 研究<sup>6~16)</sup>가 이 루어져 있음에도 不拘하고 아직 學者들 사이에 異見이 많다 하겠다.

한편 肺胞表面에 薄膜을 形成하여 表面張力を 低下 시킴으로서 肺胞의 安定性을 維持하는 作用을 하는<sup>17~20)</sup>肺胞表面活性物質은 그 主된 成分이 lecithin이며 그外에 phospholipid 도 主要構成成分인 複合物質로서<sup>21~24)</sup>, granular pneumonocyte (Type II, 肺胞 上皮 細胞)의 osmiophilic inclusion body에서 分泌된다<sup>25~28)</sup>는 것 이미 알려져 있다.

또한 이터한 surfactant의 活性度가 純酸素<sup>29,30)</sup>, ozone<sup>31)</sup> 또는 ether<sup>32,33)</sup> 및 halothane<sup>33)</sup> 等의 吸入으로서 低

本 研究에 所要된 研究費의 一部(500,000원)는 1971 年度 문교부 학술연구조성비에 의하였음.

下된다고 한다.

CO gas 中毒은 本質的으로 組織에 低酸素症을 招來 함<sup>2,3)</sup>은勿論이고, 특히 CO gas의 吸入經路가 肺胞임에 비추어 CO gas 가 surfactant의 活性度에 影響을 미칠 것이라는 것은 쉽게豫測할수 있으나 이 點에 關해서는 아직 뚜렷한 報告가 없다. 따라서 CO gas에 急性으로 或은 反復 露出된 動物의 surfactant의 活性度가 果然 어떠한 變化를 나타나게 되느냐를 안다는것은 呼吸生理學의 見地에서 大端히 興味있는 일이라 하겠다.

以上과 같은 見地에서 著者들은 家兔를 材料로 하고 數種濃度(0.1, 0.2 및 0.4%)의 CO gas에 比較的 短時間 露出시킨 所謂 急性 CO 中毒群과 0.1%의 CO gas에 每日 2時間씩 5日間 露出시킨 所謂 慢性中毒群에 있어서 각各 surfactant의 活性度를 正常의 그것과 比較觀察하고 그 結果를 報告하는 바이다.

## 實驗材料 및 方法

### I. 實驗動物

本大學 動物舍에서 同一 條件下에서 飼育中인 體重 2~2.5 kg의 外見上 健康한 雜種 白色家兔를 雌雄의 別 欲이 任意로 選擇하였으며, 總 48匹의 家兔들을 다음과 같이 實驗群으로 나누어 使用하였다.

1) 對照群: 正常家兔에서 肺抽出液을 만든 群(7匹)

2) CO gas 中毒群(41匹)

(1) 急性 CO 中毒群(22匹)

다시 아래와 같은 5群으로 細分하였다. 即

a) 0.1% CO gas 2時間 露出群(4匹)

b) 0.2% CO gas 2時間 露出群(4匹)

c) 0.2% CO gas 4時間 露出群(5匹)

d) 0.2% CO gas 6時間 露出群(5匹)

e) 0.4% CO gas 2時間 露出群(4匹)

(2) 慢性 CO 中毒群(19匹)

0.1% CO gas에 每日 2時間씩 5日間 露出시킨 群으로서 다시

a) 第 1日群 (4匹)

b) 第 3日群 (5匹)

c) 第 5日群(10匹)의 小群으로 나누었다.

### II. 實驗方法

#### 1) CO gas 發生 및 分析

濃黃酸에 磺酸을 加하면서 加溫, 攪拌하여 發生시킨 CO gas<sup>4)</sup>를 spirometer 內에서 大氣로서 稀釋하여 本實驗에 使用한 各種濃度의 CO 混合gas를 만들고 Douglas bag에 取하였다. CO gas의 分析은 Godart nv型 CO analyzer를 使用하였다.

#### 2) CO gas에 露出方法

圖 1에서 보는 바와 같이 soda lime과 CaCl<sub>2</sub>가 들어 있는 plastic製 통속에 實驗動物인 家兔를 1回에 1匹씩 넣고 一側에서 CO gas가 들어 있는 Douglas bag을連結하고 他側에서는 motor로서 吸引시킴으로서 plastic 통속에 混合 CO gas가 流動하도록 하였다(第 1圖).

#### 3) 肺抽出液의 作成法

肺抽出液의 作成은 Clements 等<sup>18)</sup>의 方法에 準하였고 그 詳細한 것은 本教室의 李<sup>35)</sup>가 記述한 바와 같다

#### 4) 肺抽出液의 表面張力 測定 및 記錄

肺抽出液의 表面積 增減에 따른 表面張力 變化測定을 為하여 Brown 等<sup>36)</sup>이 使用한 裝置인 Langmuir-

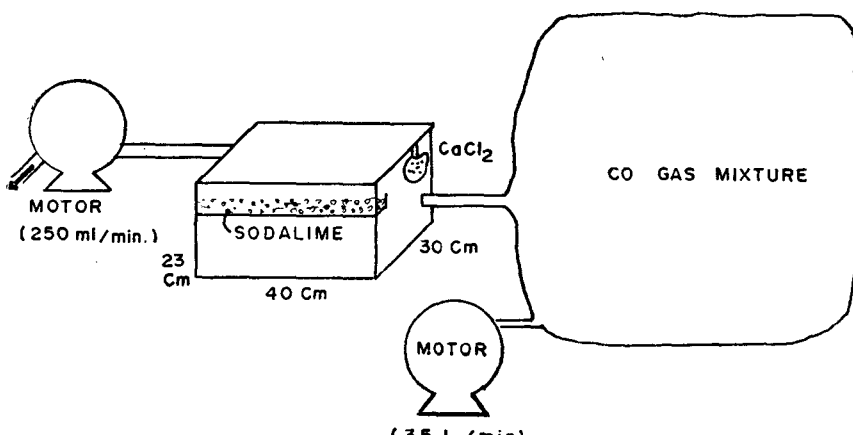


Fig. 1. Schematic presentation of CO gas exposure system for rabbit.

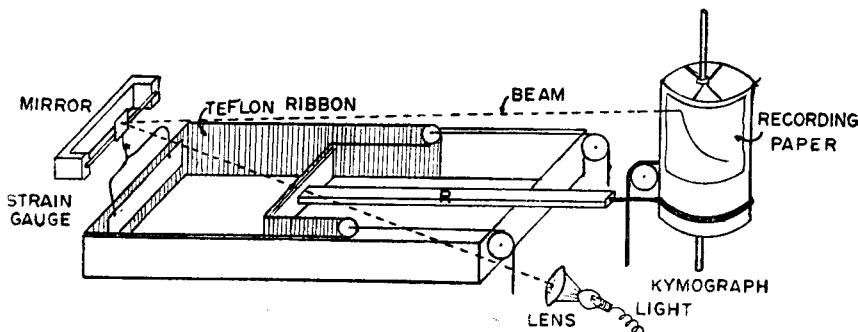


Fig. 2. Schematic representation of the device for the recording of surface tension changes following expansion or reduction of surface area.

Wilhelmy balance를 改造하여 抽出液의 表面積을 擴大 또는 縮少시킴에 따른 表面張力의 變化를 連續的으로 記錄할 수 있는 裝置를 本教室에서 製作하여 使用하였으며 그 裝置의 略圖는 第 2 圖와 같고 그 詳細한 것은 李<sup>36</sup>의 記述과 같다.

#### 5) 張力一面積曲線의 幅 및 Extract Stability Index의 計算

肺 抽出液이 나타내는 hysteresis의 程度를 張力一面積曲線, 即 Tension-Area (T-A) diagram의 幅으로 表現하고, 表面積 40%에서의 T-A曲線의 幅을 dyne/cm로 表示하였고, 또한 Clements等<sup>18</sup>이 提案한 extract stability index(s)를 計算하였다.

$$\text{即 } s = 2(r_{\max} - r_{\min}) / (r_{\max} + r_{\min})$$

여기서  $r_{\max}$ 은 最大表面張力

$r_{\min}$ 은 最少表面張力

Table 1. Surface tension of minced lung extracts of normal rabbits

| Exper.<br>No. | Surface tension (dynes/cm) |         |       |
|---------------|----------------------------|---------|-------|
|               | Maximum                    | Minimum | Width |
| 1             | 29.0                       | 11.5    | 17.5  |
| 2             | 32.0                       | 9.0     | 22.0  |
| 3             | 27.0                       | 10.0    | 15.0  |
| 4             | 32.0                       | 5.0     | 25.0  |
| 5             | 35.0                       | 12.0    | 21.0  |
| 6             | 36.0                       | 9.0     | 26.5  |
| 7             | 30.0                       | 6.0     | 23.0  |
| Mean          | 31.6                       | 8.2     | 21.4  |
| S D           | 3.11                       | 0.56    | 4.40  |

S D: Standard deviation

## 實驗成績

### I. 正常群

正常家兔 7例에서 얻은 肺 抽出液의 最大表面張力, 最少表面張力 및 表面積 40%에서의 T-A曲線의 幅의 平均值 및 標準偏差는 第 1 表에서 보는 바와 같이 각각  $31.6 \pm 3.11$  dynes/cm,  $8.2 \pm 0.56$  dynes/cm 및  $21.4 \pm 4.40$  dynes/cm였다.

또한 正常家兔 肺組織에서 作成한 肺 抽出液의 表面張力を 그 平均值로서 T-A曲線을 그려보면 第 3 圖와 같고 肺抽出液의 T-A曲線에서 볼 수 있는 hysteresis 現象을 나타내고 있다.

### II. 急性 CO gas中毒群

第 4 圖는 0.2% CO gas에 2時間 露出시킨 家兔의 肺

抽出液의 T-A曲線으로서 正常群에서 보는 바와 같은 很한 hysteresis 現象을 보여주고 있으며 또 最大 및 最少表面張力도 正常群의 그것과 거의 비슷한 값을 보여주고 있다. 數種濃度 (0.1%, 0.2% 및 0.4%)의 CO gas에 2時間 露出한 家兔肺抽出液의 肺胞表面活性物質의 活性度를 正常群의 그것과 比較해보면 第 2 表에서 보는 바와 같다. 即 0.1%, 0.2% 및 0.4% CO gas의 各濃度別 最大表面張力은  $33.6 \pm 4.76$ ,  $36.5 \pm 6.75$  및  $28.2 \pm 4.81$  dynes/cm이었으며, 最少表面張力은  $9.25 \pm 5.05$ ,  $8.1 \pm 1.31$  및  $9.5 \pm 4.20$  dynes/cm이며, 表面積 40%에서의 幅은  $20.1 \pm 6.40$ ,  $22.1 \pm 3.78$  및  $15.3 \pm 5.96$  dynes/cm으로서 (7 및 8 圖表 참조) 正常群의 그것과比較하여 약간의 差異는 있었으나 統計的으로有意한 變化는 아니었다.

또 0.2% CO gas에 2, 4 및 6時間 露出한 家兔肺抽出液의 各時間別 最大表面張力은  $36.5 \pm 6.70$ ,  $33.8 \pm$

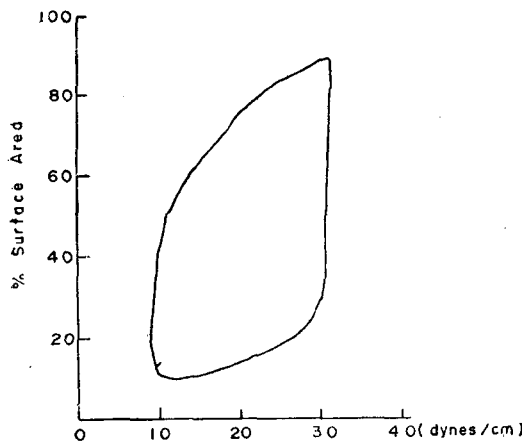


Fig. 3. Tension-area diagram of minced lung extracts of normal rabbits (from mean value).

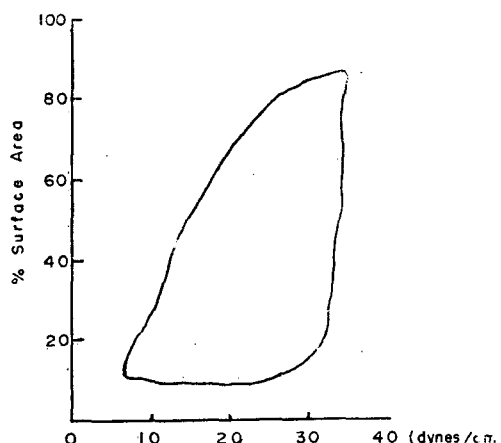


Fig. 4. Tension-area diagram of minced lung extracts of rabbits following 0.2% CO poisoning for 2 hrs. (from mean value)

Table 2. Surface tension of minced lung extract of 0.1, 0.2 and 0.4% CO poisoned rabbits

|              | CO poisoning |         |       |       |       |       |       |
|--------------|--------------|---------|-------|-------|-------|-------|-------|
|              |              | Control |       | 0.10% |       | 0.20% |       |
|              |              | 2 hrs   | 2 hrs | 4 hrs | 6 hrs | 2 hrs | 6 hrs |
| Maximum      | Mean*        | 31.6    | 33.6  | 36.5  | 33.8  | 6.61  | 28.2  |
|              | S D          | 3.11    | 4.76  | 6.70  | 6.61  | 1.58  | 4.81  |
| Minimum      | Mean*        | 8.2     | 9.25  | 8.1   | 6.8   | 6.5   | 9.5   |
|              | S D          | 0.56    | 5.05  | 1.31  | 4.08  | 4.72  | 4.20  |
| Width**      | Mean*        | 21.4    | 20.1  | 22.1  | 21.4  | 20.1  | 15.3  |
|              | S D          | 4.40    | 6.40  | 3.78  | 9.06  | 6.09  | 5.96  |
| No. of cases |              | 7       | 4     | 4     | 5     | 5     | 4     |

S D: Standard deviation

\*: dyne/cm

\*\*: Width of tension-area diagram at area of 40%.

6.61 및 30.0±1.58dynes/cm이며 最少表面張力은 8.1±1.31, 6.8±4.08 및 6.5±4.72dynes/cm이며 表面積 40%에서의 幅은 22.1±3.78, 21.4±9.06 및 20.1±6.09 dynes/cm이었으며(5 및 6 圖表 참조) 正常群의 그것과 比較하여 4時間 露出群 및 6時間 露出群에서 最少表面張力이 正常群의 그것보다 약간 감소한 即 肺胞表面活性物質의 活性度가 오히려 약간 增加하는 경향을 보여주고 있으나 統計的으로 有意한 變化는 아니었다.

한편 Clements 等<sup>19)</sup>이 提案한 stability index 를 CO gas 急性中毒家兔와 正常群의 그것과 比較해보면 第 3 表에서 보는 바와 같다. 即 0.1% CO gas 2時間, 0.2% CO gas 2時間, 4時間 및 6시간 및 0.4% CO gas 2시간 露出群의 stability index 는 각각  $1.18 \pm 0.34$ ,  $1.27 \pm 0.03$ ,  $1.31 \pm 0.41$  및  $1.00 \pm 0.33$ 으로서(6 및 8 圖表 참조) 正常群의 그것과 比較하여 0.2% CO gas 4시간 露出群 및 6시간 露出群에서 正常群의 그것 보다 약간 增加한 경향을 나타내고 있다.

### III. 慢性 CO gas 中毒群

0.1%의 CO混合 gas에 每日 2시간씩 1, 3 및 5日間 露出된 CO中毒群의 肺抽出液의 最少表面張力, 最少表面張力 및 表面積 40%線에서의 T-A曲線의 幅을 그 平均值 및 標準偏差로서, 對照群의 그것과 比較 表示하면

Table 3. Changes of stability index of minced lung extracts of 0.1, 0.2 and 0.4% CO poisoning rabbits

|              | CO gas poisoning |         |       |       |       |       |       |
|--------------|------------------|---------|-------|-------|-------|-------|-------|
|              |                  | Control |       | 0.10% |       | 0.20% |       |
|              |                  | 2 hrs   | 2 hrs | 4 hrs | 6 hrs | 2 hrs | 6 hrs |
| Mean         |                  | 1.12    | 1.18  | 1.27  | 1.33  | 1.31  | 1.00  |
| S D          |                  | 0.22    | 0.34  | 0.03  | 0.03  | 0.41  | 0.33  |
| No. of Cases |                  | 7       | 4     | 4     | 5     | 5     | 4     |

S D: Standard deviation

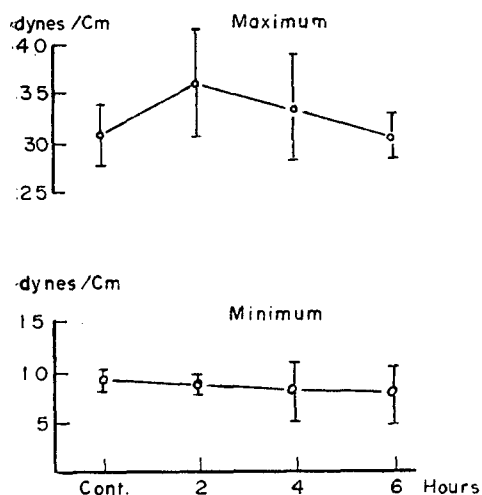


Fig. 5. Maximal and minimal surface tensions of rabbit lung extracts following 0.2% CO poisoning.

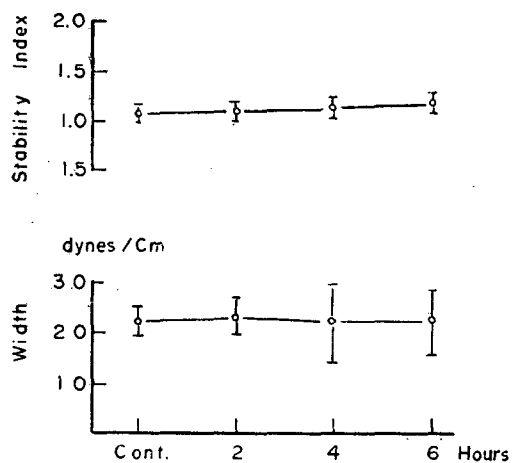


Fig. 6. Width and stability index of rabbit lung extracts following 0.2% CO poisoning.

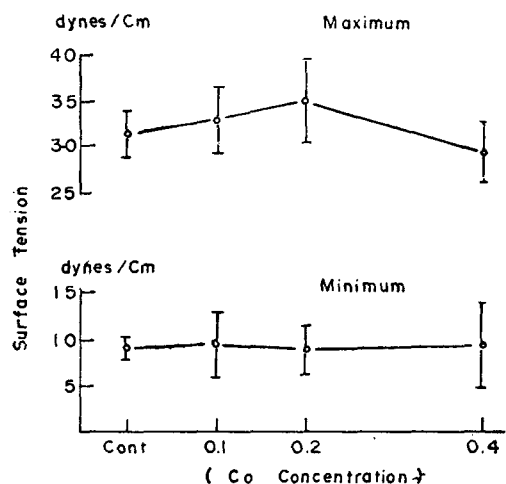


Fig. 7. Maximal and minimal surface tension of rabbit lung extracts following CO poisoning with different concentrations.

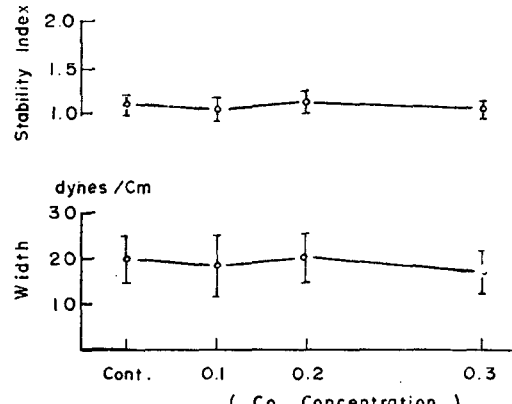


Fig. 8. Width and stability index of rabbit lung extracts following CO poisoning with different concentrations.

第4表 및 第10圖와 같고, 그 때에 나타나는 T-A曲線의 hysteresis現象은 第9圖에서 보는 바와 같다.

여기서 보는 바와 같이 最大張力은 對照值  $31.6 \pm 3.11$  dynes/cm에 比하여 0.1% CO gas에 每日 2時間씩 1, 3 및 5日間 露出 된 群에서는 각각  $33.6 \pm 4.76$ ,  $33.00 \pm 3.0$  및  $32.0 \pm 2.66$  dynes/cm으로서 大體로 若干 높은 값을 나타내고 있으나 有意味한 變化는 아니었다.

最少表面張力은 對照值  $8.2 \pm 0.56$  dynes/cm에 比하여 각각  $9.2 \pm 5.05$ ,  $9.0 \pm 2.52$  및  $8.3 \pm 2.72$  dynes/cm로서

第1 및 第3日群에서는 若干 높고 第5日群에서는 若干 낮은 傾向을 나타내었으나 統計學的으로 有意味한 差異는 아니었다.

表面積 40%線에 서의 幅은 對照值  $21.4 \pm 4.40$  dynes/cm에 比하여 CO gas中毒 第1, 第3 및 第5日群에서 각각  $20.1 \pm 6.40$ ,  $20.0 \pm 4.20$  및  $21.9 \pm 3.02$  dynes/cm으로서 若干 낮거나 큰 差異가 없고 全體的으로 有意味한 差異는 認定할 수 없다.

第5表 및 第11圖는 各 實驗群에서의 stability index

Table 4. Surface tension of minced lung extract of 0.1% CO poisoned rabbits for 5 days

|              | Control | 0.1% CO poisoning<br>(exp. for 2 hrs) |        |        |
|--------------|---------|---------------------------------------|--------|--------|
|              |         | 1 day                                 | 3 days | 5 days |
| Maximum      | Mean*   | 31.6                                  | 33.6   | 33.0   |
|              | S D     | 3.11                                  | 4.76   | 3.00   |
| Minimum      | Mean*   | 8.2                                   | 9.2    | 9.0    |
|              | S D     | 0.56                                  | 5.05   | 2.52   |
| Width**      | Mean*   | 21.4                                  | 20.1   | 20.0   |
|              | S D     | 4.40                                  | 6.40   | 4.20   |
| No. of cases |         | 7                                     | 4      | 5      |
|              |         |                                       |        | 10     |

S D: Standard deviation

\* : dyne/cm

\*\*: Width of tension-area diagram at area of 40%

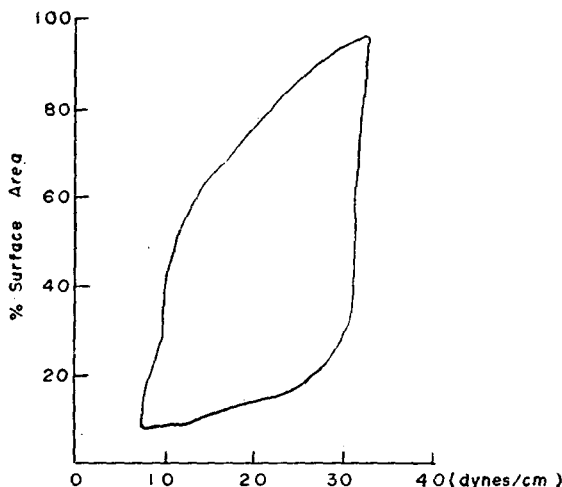


Fig. 9. Tension-area diagram of minced lung extracts of rabbits following 0.1% CO poisoning for 5 days (2 hrs/day) (from mean value).

Table 5. Changes of stability index of minced lung extracts of 0.1% CO poisoned rabbits for 5 days

|             | Control | 0.10% CO poisoning<br>(exp. for 2 hrs.) |        |        |
|-------------|---------|---|--------|--------|
|             |         | 1 day                                   | 3 days | 5 days |
| Mean        | 1.12    | 1.18                                    | 1.24   | 1.19   |
| S D         | 0.22    | 0.34                                    | 0.12   | 0.17   |
| No. of case | 7       | 4                                       | 5      | 10     |

S D: standard deviation

Stability Index ( $\bar{S}$ ) =  $2(r_{\max} - r_{\min}) / (r_{\max} + r_{\min})$

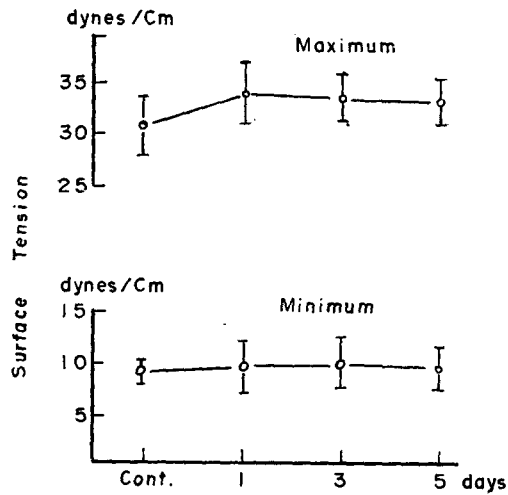


Fig. 10. Maximal and minimal surface tensions of rabbit lung extracts following 0.1% CO poisoning for 5 days.

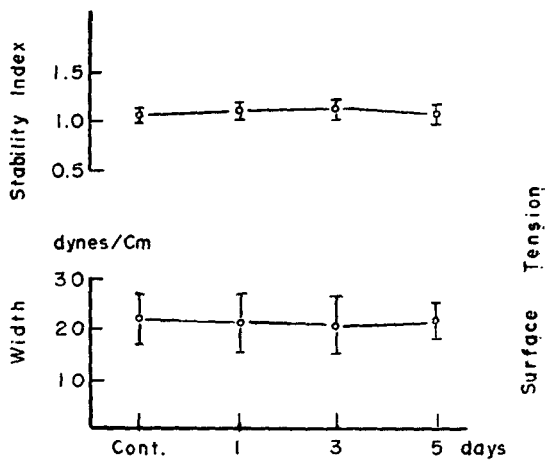


Fig. 11. Width and stability index of rabbits lung extracts following 0.1% CO poisoning for 5 days.

( $\bar{S}$ )를 對照群의 그것과 比較 表示한 것인데 여기서 보는 바와 같이 對照群에서는  $\bar{S}$  가  $1.12 \pm 0.22$ 임에 比하여 0.1% CO 中毒群에서는 第 1, 3 및 5日에서 각각  $1.18 \pm 0.34$ ,  $1.24 \pm 0.12$  및  $1.19 \pm 0.17$ 으로서 大體로 若干 높은  $\bar{S}$  的 値을 나타내고 있으나 統計學的인 有意性을 찾을 수 없다.

## 總括 및 考察

哺乳動物의 肺臟은 活發한 代謝를 營爲하는 臟器이며 따라서 酸素供給의 變化에는 銳敏한 部分이라 하겠다.

低酸素症狀態에서는 肺胞의 type II 細胞內에 脂肪小胞가 存在하게 되고 inclusion body는 크기가 작을 뿐 아니라 數도 적다고 한다.<sup>28)</sup> 뿐만 아니라 쥐의 肺抽出液의 脂肪代謝에 對한 低酸素症의 影響에 關한 研究에서 Naimark 및 Klass<sup>39)</sup>는 低酸素症下에서는 palmitate-C<sup>14</sup>의 triglycerides 및 phospholipids 内 incorporation이甚한 抑制를 입는다고 하였다.

한편 CO gas에 露出된 生體에는 露出된 CO gas의濃度와 露出時間에 따라 急速히 CO 血色素가 形成되고 低酸素症이 招來된다.<sup>2,3)</sup>함은 이미 잘 알려진 바다.

CO gas에 露出된 動物의 肺胞表面活性物質(surfactant)의 活性度가 低酸素症의 程度에 따라 低下되리라는 것은豫測할 수 있고, 따라서 著者들은 0.1~0.4%의 CO gas에 家兔를 2時間乃至 6時間 急性으로 露出시킨 群과 0.1%의 CO gas에 每日 2時間씩 1, 3 및 5時間 露出시킨 群에서 각각 그 surfactant의 活性度를 測定하였다. 그 結果를 綜合해서 考察하면 CO gas中毒群의 surfactant의 活性度가 對照群에 比하여 若干의 差異는 있으나, 大體로 有意한 差異는 나타나지 않고 있음을 알 수 있다.

CO中毒에 依한 低酸素症이 呼吸機能에 미치는 影響에 關해서는 많은 研究<sup>6~16)</sup>가 이루어져 있으나 學者들 間에 異見이 많다. 特히 Chevalier 等<sup>14)</sup>은 人體에서 0.5% CO gas를 吸入시키기 前後의 肺機能을 比較觀察하였던 바 一換量, 肺活量, 殘氣量 및 氣道抵抗等에는 有意한 差異가 없었다고 하고, Fisher 等<sup>15)</sup>은 CO gas吸入으로서 肺活量, 機能的 殘氣量, 氣道抵抗, 肺容壓量(compliance) 및 擴散能 等에 變化가 招來되지 않았다고 하였다.

肺胞表面活性物質의 活性度는 肺胞가 呼氣 및 吸氣에 있어서 肺胞內壓 및 容量의 階段의 變化, 即 compliance의 變化에 따라 左右되는 것<sup>37)</sup>인 만큼 Fisher 等<sup>15)</sup>의 報告와 같이 compliance가 CO gas中毒으로서 影響을 받지 않는다면 surfactant에도 큰 影響을 나타내지 않으리라는 것은 首肯이 가는 일이라 하겠으나, 이 方面의 報告가 別로 없어서 比較考察하기 어려운 일이라 하겠다.

著者들이 本 研究에서豫備的으로 行한 實驗에서 家兔의 surfactant를 抽出하고, in vitro에서 84%의 CO gas에 直接 2~4時間 露出시켰으나 역시 別 影響이 없

음을 본 바 있다.

以上으로서 CO gas는 surfactant의 活性度에는 有意한 差異를 나타내지 않는 것이라고 思料되고, 꽤 興味 있는 事實이나 앞으로 CO gas의濃度와 露出時間에 따른 더욱 細密한 報告가 要望된다 하겠다.

## 結論

CO gas中毒이 肺胞表面活性物質의 活性度에 미치는 影響을 알기 為하여 家兔를 材料로 하고, 0.1, 0.2 및 0.4% CO gas에 2시간乃至 6시간 露出시킨 群과, 0.1% CO gas에 每日 2시간씩 1, 3 및 5일間 露出시킨 群에 있어서 각각 肺를 摘出하여 肺抽出液을 作成하고, Langmuir-Wilhelmy balance를 改造한 表面張力測定 및 連續描記裝置를 使用하여 肺抽出液의 張力一面積曲線을 描記함으로서, 表面張力變化를 測定하여 肺胞表面活性物質의 活性度를 正常家兔의 그것과 서로 比較한 結果 다음의 結論을 얻었다.

- 1) 正常家兔 肺抽出液의 最大表面張力, 最少表面張力, 張力一面積曲線 40%線에서의 幅 및 stability index는 각각  $21.6 \pm 3.11$  dynes/cm,  $8.2 \pm 0.56$  dynes/cm,  $21.4 \pm 4.40$  dynes/cm, 및  $1.12 \pm 0.22$ 이었다.
- 2) CO gas中毒群에 있어서 肺胞表面活性物質의 表面張力 및 stability index는 正常對照群의 그것들에 比하여 有意한 差異를 나타내지 않았다.
- 3) 以上의 結果로서 CO gas는 肺胞表面活性物質의 活性度에는 有意한 變化를 招來하지 않을 것이라고 思料된다.

(本 研究에 많은 도움을 해 준 崔瓊淑 先生과 李錫珠 君께 感謝한다.)

## 参考文獻

- 1) Root, W. S.: *Carbon monoxide*, *Handbook of Physiology, Respiration II* Editors:Fenn, W. O. and Rahn, H. P., 1902, Am. Physiol. Society, Washington, D. C. 1964.
- 2) Roughton, F. J. W. and Darling, R. C.: *The effect of carbon monoxide on the oxyhemoglobin dissociation curve*. Am. J. Physiol. 141:17, 1945.
- 3) Brody, J. S. and Coburn, R. F.: *Carbon monoxide induced arterial hypoxemia*. Science, 164:1297, 1969.
- 4) Lilienthal, J. L., Jr.: *Carbon monoxide*, Pharmac. Rev. 2:324, 1950.
- 5) Ball, E. G., Strittmatter, C. F. and Cooper, O.:

- The reaction of cytochrome oxidase with carbon monoxide.* *J. Biol. Chem.* 193:635, 1951.
- 6) Haldane, J.: *The action of carbon monoxide on man.* *J. Physiol.*, 18:425, 1895.
- 7) Haygard, H. W. and Henderson, Y.: *Hematorespiratory functions XII, Respiration and blood alkali during carbonmonoxide asphyxia.* *J. Biol. Chem.* 47:421, 1921.
- 8) Ayres, S.M. Mueller, H. S., Grebory, J. J., Gianelli, S. and Penny, J. L.: *Systemic and myocardial hemodynamic to relatively small concentrations of carboxyhemoglobin.* *Arch. Environ. Health,* 18:699, 1969.
- 9) Asmussen, E. and Choidi, H.: *The effect of hypoxemia on ventilation and circulation in man.* *Am. J. Physiol.* 132:426, 1940.
- 10) Choidi, H., Dill, D. B., Consolazio, F. and Horvath, S. M.: *Respiratory and circulatory responses to acute carbon monoxide poisoning.* *Am. J. Physiol.* 134:683, 1941.
- 11) 金玉在 : 急性一酸化炭素中毒의 生理學的研究 : 大韓醫學協會誌, 4:39, 1961.
- 12) Comroe, J. H., Jr. and Schmidt, C. F.: *The part played by reflexes from carotid body in the chemical regulation of respiration in dog.* *Am. J. Physiol.* 121:75, 1938.
- 13) Duke, N. N., Green, J. H. and Neil, E.: *Carotid chemoreceptor impulse activity during inhalation of carbon monoxide mixtures.* *J. Physiol.* 118: 520, 1952.
- 14) Chevalier, R. B., Krumholz, R. A. and Ross, J. C.: *Reaction of nonsmokers to carbon monoxide inhalation.* *J. A. M. A.* 198:135, 1966.
- 15) Fisher, A. B., Hyde, R. W., Bane, A. E. Reif, J. S. and Kelly, D. F.: *Effect of carbon monoxide on function and structure of the lung.* *J. Appl. Physiol.* 26:4, 1969.
- 16) 權鍾烈, 朴熙明 : 急性一酸化炭素中毒이 呼吸에 미치는 영향에 關한 研究. *순환기*, 1:28, 1971.
- 17) Clements, J. A.: *Surface tensions of lung extracts.* *Proc. Soc. Exp. Med.* 95:170, 1957.
- 18) Clements, J. A., Husted, R. F., Johnson, R. P. and Gribetz, I.: *Pulmonary surface tension and alveolar stability.* *J. Appl. Physiol.* 16:444, 1961.
- 19) McKlin, C. C.: *The pulmonary alveolar mucoid film and the pneumonocytes.* *The Lancet*, 1:1099, 1954.
- 20) Pattle, R. E. and Thomas, L. C.: *Lipoprotein composition on film lining the lung.* *Nature*, 189: 844, 1961.
- 21) Abrams, M. E.: *Isolation and quantitative estimation of pulmonary surface-active lipoprotein.* *J. Appl. Physiol.* 21:718, 1966.
- 22) Buckingham, S., Heinemann, H. O., Sommers, S. C. and McNary, W. F.: *Phospholipid synthesis in the large pulmonary alveolar cell.* *Am. J. Path.*, 48:1027, 1966.
- 23) Kuenzing, M. C., Hamilton, R. W., Jr. and Peltier, L. F.: *Dipalmitoyl lecithin; Studies on surface properties.* *J. Appl. Physiol.* 20:779, 1965.
- 24) McClenahan, J. B. and Urtnowski, A.: *Effect of ventilation on surfactant and its turnover rate.* *J. Appl. Physiol.* 23:215, 1967.
- 25) Woodside, G. L. and Dalton, A. J.: *The ultrastructure of lung tissue from newborn and embryonic mice.* *J. Ultrastructure Res.* 2:28, 1958.
- 26) Kikkawa, Y., Motoyama, E. K. and Cook, C. D.: *The ultrastructure of the lung of the lambs.* *J. Pathol.* 47:877, 1965.
- 27) Buckingham, S. and Avery, M. E.: *Time of appearance of lung surfactant in foetal mouse.* *Nature*, 193:688, 1962.
- 28) Campiche, M., Jaccottet, H. and Juillard, E.: *Hyaline membrane disease. Electron microscopic observations.* *Paediat.* 199:74, 1962.
- 29) Giannonna, S. T., Kerner, D. and Bondurant, S.: *Effect of oxygen breathing at atmospheric pressure on pulmonary surfactant.* *J. Appl. Physiol.* 20: 855, 1965.
- 30) Morgan, T. E., Finley, T. N., Hubber, G. L. and Fialkow, H.: *Alterations in pulmonary surface-active lipids during exposure to increased oxygen tension.* *J. Clin. Invest.* 44:1737, 1965.
- 31) 姜賢植 : *Ozone, 酸素 및 Epinephrine*이 肺胞表面活性物質에 미치는 영향. *綜合醫學*, 13:43, 1968.
- 32) 金仁顯, 金大洙 : *Ether 麻醉가 家兔肺의 壓力容積曲線 및 肺胞表面張力活性物質에 미치는 영향에 關하여.* *綜合醫學*, 9:45, 1954.

- 33) 金炳權 : Ether 및 Halothane 麻酔가 家兔肺胞表面活性物質에 미치는 영향에 關하여. 最新醫學, 14: 81, 1971.
- 34) 賓南洙 : 急性一酸化炭素中毒犬에 있어서의 循環血液量에 關하여. 대한의 학협회지, 8: 1023, 1965.
- 35) 李鐵 : 胸部 X-線照射가 家兔肺胞表面活性物質에 미치는 영향. 大韓生理學會誌, 2: 63, 1958.
- 36) Brown, E.S., Johnson, R.P. and Clements, J.A.: Pulmonary surface tension. *J. Appl. Physiol.*, 14: 717, 1959.
- 37) Scarpelli, E.M.: *The surfactant system of the lung*, p. 225, Lea & Febiger (Philadelphia), 1968.
- 38) Naimark, A. and Klass, D.: The incorporation of palmitate-1-C<sup>14</sup>-by rat lung *in vitro*. *Canad. J. Physiol. Pharmacol.* 45: 597, 1967.